

چکیده

استفاده از سنجنده‌های ماهواره‌ای در پایش آلودگی هوا و ذرات معلق مزایای زیادی را نسبت به ایستگاه‌های زمینی سنجش آلودگی به همراه دارد. از این رو مدتهاست که کاربرد این سنجنده‌ها برای سنجش آلودگی هوا و به خصوص ذرات معلق غبار مورد توجه متخصصین و مدیران شهری قرار گرفته است. سنجنده‌های گوناگون با طول موج‌ها و دقت‌های متفاوت برای این منظور در دهه‌های اخیر مورد استفاده قرار گرفته‌اند، که از این میان می‌توان به دو سنجنده TOMS و MODIS اشاره کرد. مقایسه داده‌های این دو سنجنده با داده‌های ایستگاه‌های زمینی متعددی، حاکی از وجود ارتباط نزدیک و قابلیت بالای آنها دارد.

با توجه به معضل آلودگی هوا در شهرهای بزرگ و صنعتی کشور، امکان استفاده از اینگونه سنجنده‌های ماهواره‌ای کمک زیادی به پایش آلودگی می‌نماید. برای این منظور در چند دوره زمانی، مقادیر PM₁₀ ایستگاه‌های زمینی سنجش آلودگی هوا در تهران با مقادیر بدست آمده از سنجنده MODIS مقایسه گردید که روند مثبتی را بین این دو نشان نمی‌داد. سنجنده TOMS نیز به دلیل ابعاد بزرگ پیکسل هایش برای مطالعه آلودگی شهرها مناسب تشخیص داده نشد. در این مقاله دلایل وجود خطا در پایش آلودگی هوا و میزان ذرات معلق در هوا توسط MODIS در هر دو بعد، تصاویر ماهواره و ایستگاه‌های زمینی تبیین شده است.

کلمات کلیدی

آلودگی هوا، شهر، ذرات معلق، سنجنده TOMS، سنجنده MODIS

مقدمه

ذرات معلق یا PM اصطلاحی است که برای مجموعه ذرات جامد و قطرات مایعی که در جو است بکار می‌رود. ذرات معلق یکی از شاخص‌های آلودگی هواست که توسط ایستگاه‌های سنجش آلودگی نیز اندازه گرفته می‌شود. ذرات معلق علاوه بر مشکلات سلامتی برای انسانها باعث تأثیر بر روی مقدار تابش خورشید به زمین و تغییر سیستم زمین و جو، تأثیر روی

بررسی کاربرد سنجنده‌های ماهواره‌ای در تشخیص ذرات معلق شهرهای بزرگ

□ مهدی مغربی

maghrebi@mehr.sharif.edu

□ سعید تجریشی

tajrishi@sharif.edu



الگوهای جریان جوی، تغییر در دمای سطحی زمین و بارش و کاهش دید نیز می‌شود.

آنچه در مورد ذرات معلق در مبحث آلدگی هوا مهم است، ذرات معلق با قطر ذرات کوچک تراز ۱۰ میکرومتر (PM₁₀) است. دلیل این امر آنست که این گونه ذرات می‌توانند وارد سیستم تنفسی و نای شوند و از این طریق باعث مشکلات تنفسی بخصوص برای اقسام حساس جامعه ممچون کودکان و کهنسالان گردند. در این بین ذرات معلق با قطر ذرات کوچک تراز ۲/۵ میکرومتر (PM_{2.5}) از اهمیت خاصی برخوردارند، زیرا این گونه ذرات توانایی وارد شدن به قسمتهای پایینی ریه را دارا هستند و خطرات تنفسی را برای اقسام گوناگون جامعه بوجود می‌آورند.^[۶]

ستجنده‌های ماهواره‌ای TERRA ۱-۲ سنجنده MODIS نصب شده روی ماهواره در تاریخ ۱۸ دسامبر ۱۹۹۹ برای نمایش جهانی اتمسفر، اکوسیستم زمین و دریاها پرتاب شد. همچنین در ۴ می ۲۰۰۲ ابزار مشابهی روی ماهواره AQUA نصب و پرتاب شد. MODIS نصب شده روی دو ماهواره در مدارهایی که همدیگر را تکمیل می‌کنند در حرکتند. حرکت AQUA و TERRA طوری است که از یک ناحیه زمین در حدود زمانی مشخصی عبور می‌کنند. به عنوان مثال AQUA در حدود ساعت ۱۰ صبح به ساعت جهانی و TERRA در حدود ساعت ۷:۳۰ صبح به ساعت جهانی از روی ایران می‌گذرند. نصب شده روی دو ماهواره با عرض دید ۲۳۰ کیلومتر تقریباً پوشش جهانی کاملی را در یک روز انجام می‌دهد.

۲-۲ سنجنده TOMS

TOMS سنجنده ایست که از سال ۱۹۷۸ روی ماهواره‌های مختلفی چون Nimbus^۷ (۱۹۷۸)، Meteors (۱۹۹۱)، ADEOS (۱۹۹۶) و Earth Probe (EP) نصب و کار می‌کند. داده‌های TOMS بصورت سطح سه و با شبکه بنده یکنواخت (وضوح طول جغرافیایی ۱/۲۵ درجه و پسخون عرض جغرافیایی ۱ درجه) است. این ابزار برای نمایش مقدار ازن جو زمین بوسیله مطالعه تابش‌های منعکس شده در محدوده فرابینفش پرتاب شد. علاوه بر این، این پرتوها حاوی اطلاعاتی در مورد خصوصیات پخش و جذب ذرات معلق است. AI که توسط TOMS تولید می‌شود، یکی از مفیدترین ابزارهای مطالعه رفتار ذرات معلق است. زیرا به وسیله آن توزیع مکانی و زمانی ذرات معلق تربوپوسفر روی دریاها و خشکی‌ها را می‌توان تخمین زد. AI نشان دهنده آنست که تا چه مقدار UV تابش بازگشته از اتمسفر دارای ذرات معلق، از اتمسفر ملکولی خالص متفاوت است. شاخص ذرات معلق AI برای TOMS نصب شده روی EP بصورت زیر تعریف می‌شود:

$$\text{AI} = -100 \left(\log_{10} \frac{I_{331}}{I_{360}} \right)_{\text{measured}} - \log_{10} \left(\frac{I_{331}}{I_{360}} \right)_{\text{calculated}}$$

که در آن I مقدار تابش منعکس شده در طول موج ثابت است. مطابق با رابطه بالا، مقدار مثبت AI نشان دهنده ذرات معلق جذب کننده (غبار، دود، فعالیت های آتش‌نشانی) و AI منفی نشان دهنده ذرات معلق غیرجاذب (سولفات) است. اگر ذرات معلق با قدرت جذب کننده کم امواج در نزدیکی سطح زمین باشند، خصوصیات پراکنش ذرات معلق بر خصوصیات جذب کننده آنها حاکم خواهد بود، و مقدار AI منفی خواهد بود، مثل آنکه ذرات غیرجاذب هستند.

۳-۲ داده‌های مورد استفاده

برای این تحقیق داده‌های سنجنده TOMS به علت بزرگی بیش از حد پیکسل های آن (۱,۲۵*۱,۲۵)

بین AOT و PM_{2.5} بصورت ساعتی (۰/۷ = R_۲) و میانگین ماهیانه (۰/۰۹ = R_۱) را نشان داده است.^[۵]

علاوه بر مطالعات انجام گرفته در سایر نقاط جهان، مطالعات اخیر در ایران حاکی از قابلیت بالای سنجنده‌های MODIS و TOMS برای تعیین مراکز غبار کشور و گسترش حدود بیابانزایی می‌باشد.^[۱]

۱-۲ سنجنده MODIS

TERRA نصب شده روی ماهواره در تاریخ ۱۸ دسامبر ۱۹۹۹ برای نمایش جهانی اتمسفر، اکوسیستم زمین و دریاها پرتاب شد. همچنین در ۴ می ۲۰۰۲ ابزار مشابهی روی ماهواره AQUA نصب و پرتاب شد. MODIS نصب شده روی دو ماهواره در مدارهایی که همدیگر را تکمیل می‌کنند در حرکتند. حرکت AQUA و TERRA طوری است که از یک ناحیه زمین در حدود زمانی مشخصی عبور می‌کنند. به عنوان مثال AQUA در حدود ساعت ۱۰ صبح به ساعت جهانی و TERRA در حدود ساعت ۷:۳۰ صبح به ساعت جهانی از روی ایران می‌گذرند. نصب شده روی دو ماهواره با عرض دید ۲۳۰ کیلومتر تقریباً پوشش جهانی کاملی را در یک روز انجام می‌دهد.

محصولات MODIS در سطح زیر ارایه می‌شوند^[۸]:

- سطح صفر شامل داده‌های خام MODIS است که به ایستگاه‌های زمینی ناسا برای پردازش منتقل می‌شوند.
- سطح یک شامل تصاویر با مختصات حاصل از ۳۶ باند MODIS به تفکیک باند است.
- سطح دو تصاویر عدد دار پارامترهای محاسبه شده به تفکیک نوع پارامتر و بصورت منطقه‌ای می‌باشد.
- سطح سه نقشه‌های جهانی سطح دو میانگین روزانه، هشت روزه و ماهیانه با شبکه بنده مختصات دارمی‌باشد.

محصولات سطح یک و دو در قطعات پنج دقیقه‌ای از گردش ماهواره اند، در حالیکه سطح سوم بصورت جهانی و با شبکه بنده هستند. پسخون مکانی در سطح دوم بسته به پارامتر از ۱۰ کیلومتر متغیر است. در سطح سوم وضوح مکانی بسته به پارامتر از ۴/۶۳ کیلومتر تا ۱ درجه متغیر است.

ضخامت نوری ذرات معلق (AOD) AOT یا (AOD) مقدار درجه بی بعدیست که مشخص می‌کند ذرات

مطالعات زیادی در رابطه با امکان‌سنجی کاربرد سنجنده‌های ماهواره در پایش آلدگی هوا در مناطق شهری انجام گرفته است. به عنوان مثال شاخص AI سنجنده TERRA برای بررسی تغییرات فصلی و سالیانه غبار محیط شهری در حیدر آباد هند با وسعت تقریبی ۱۲۵ کیلومتر مربع بکار گرفته شده است. مقایسه آن با مقادیر زمینی AOD در طول موج ۳۸۰ نانومتر همبستگی^[۱] = R_۲۰/۷ داده است. مقایسه AI و مقادیر زمینی AOD در طول موج های ۴۸۰ و ۵۵۰ نانومتر در منطقه صنعتی کوچک تیتو اسکالو (Tito scallo) ایتالیا همبستگی^[۲] = R_۲۰/۷ داده است.

• مطالعه کلیه داده‌های ۶ ماهه ایستگاه‌های زمینی و مقایسه آن با سنجنده TERRA در آمریکا ارتباط قوی آن را در شرق این کشور نشان داده است.^[۳] همچنین طبق مطالعات انجام گرفته امکان استفاده از تصاویر MODIS برای پیش‌بینی کیفیت هوا و مدیریت آن در ایالت تگزاس آمریکا نشان داده شده است^[۴]. مقایسه داده‌های AOD سنجنده MODIS ماهواره‌های TERRA و AQUA با داده‌های ۷ ایستگاه زمینی در آلاما آمریکا نیز همبستگی خوبی

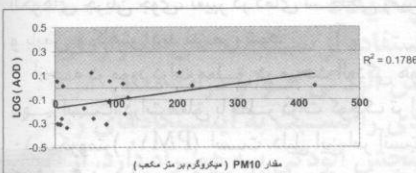
درجه معادل 125×100 کیلومتر) و اینکه هیچ گونه داده AOD زمینی در اختیار نبود، از موضوع کار حذف شد. با این وجود باید توجه داشت که تصاویر سنجنده TOMS داده های با ارزشی از تغییرات حال حاضر و دهه های گذشته غبار در سطح منطقه را ارائه می کند.

در این مطالعه پارامتر ضخامت نوری ذرات معلق می یا AOD که معکوس کننده غلظت ذرات معلق می باشد، انتخاب گردید. داده های مورد نظر در سطح دوم با توجه به کیفیت بهتر وضوح تصویر انتخاب شد. این داده ها دارای پیکسل هایی باوضوح تصویر 10×10 کیلومتر می باشند. داده های TERRA MODIS به تفکیک دو ماهواره AQUA استخراج گردید تا امکان مقایسه بین این دو ماهواره وجود داشته باشد.

برای استخراج داده های AOD که دارای پسوند HDF می باشند، از نرم افزار HDFLOOK استفاده گردید[۹]. نرم افزار HDFLOOK توانایی به تصویر کشاندن ساختار یک فایل HDF را شامل دسته داده علمی (SDS)، آرایه های برداری و تصاویر رستری را دارد. بوسیله این نرم افزار امکان دسترسی به مقدار پیکسل ها و مقدار متناظر طول و عرض جغرافیایی آنها بصورت گرافیکی می باشد.

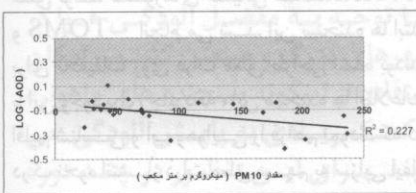
۳. منطقه مورد مطالعه

به عنوان مطالعه موردی با توجه به در دست بودن مقادیر سنجش شده آلینده های شهر تهران به بررسی آلودگی هوا در این شهر و مقایسه با تصاویر ماهواره ای موجود می پردازیم. در سراسر تهران در حال حاضر ۱۱ ایستگاه سنجش آلودگی هوا همانطور که در شکل زیر نشان داده شده است مستقر می باشد. از این تعداد ۴ ایستگاه متعلق به سازمان کنترل TERRA MODIS به تفکیک AQUA بر فراز شهر تهران اخذ گردیده و پردازش شد. در تعدادی از روزها به عنوان اینکی، داده ای یافت نشد یا تعداد کمتری داده بدست آمد. مقادیر رقومی مربوط به AOD ثبت شده پیکسل ها با مقادیر ساعتی PM10 ایستگاه متناظر زمینی سنجش آلودگی هوا در ساعت متناظر با عبور ماهواره مقایسه گردید. مقایسه داده ها همیستگی ضعیفی بین آنها را نشان میدهد.

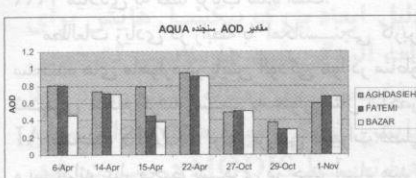


نمودار ۲: مقایسه داده های زمینی با سنجنده TERRA مابین ۶ تا ۲۲ آوریل ۲۰۰۴

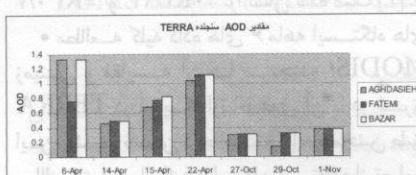
همانطور که از نمودار بالا مشخص است با توجه به نزدیکی دو ایستگاه فاطمی و بازار، مقدار AOD آنها در بیشتر موارد مشابه است. این در حالیست که فاصله زیاد آنها با ایستگاه اقدسیه موجب قرارگیری آنها در پیکسل های متفاوت و در نتیجه مقادیر متفاوت AOD می باشد.



نمودار ۳: مقایسه داده های زمینی با سنجنده AQUA مابین ۶ تا ۲۲ آوریل ۲۰۰۴



نمودار ۴: مقایسه داده های سنجنده AQUA در ۳ ایستگاه در سال ۲۰۰۴



نمودار ۵: مقایسه داده های سنجنده TERRA در ۳ ایستگاه در سال ۲۰۰۴

سال	ماه	تاریخ	آدرس	نام
۱۳۸۳	آبان	۱۶	بازار	بازار
۱۳۸۳	آذر	۲۲	بازار	بازار
۱۳۸۳	دی	۲۷	بازار	بازار
۱۳۸۳	بهمن	۱	بازار	بازار
۱۳۸۳	اسفند	۷	بازار	بازار
۱۳۸۳	خرداد	۱۰	بازار	بازار
۱۳۸۳	خرداد	۱۴	بازار	بازار
۱۳۸۳	خرداد	۱۵	بازار	بازار
۱۳۸۳	خرداد	۲۲	بازار	بازار
۱۳۸۳	خرداد	۲۷	بازار	بازار
۱۳۸۳	خرداد	۲۹	بازار	بازار
۱۳۸۳	خرداد	۳۰	بازار	بازار
۱۳۸۳	خرداد	۳۱	بازار	بازار
۱۳۸۳	خرداد	۱	بازار	بازار
۱۳۸۳	خرداد	۲	بازار	بازار
۱۳۸۳	خرداد	۳	بازار	بازار
۱۳۸۳	خرداد	۴	بازار	بازار
۱۳۸۳	خرداد	۵	بازار	بازار
۱۳۸۳	خرداد	۶	بازار	بازار
۱۳۸۳	خرداد	۷	بازار	بازار
۱۳۸۳	خرداد	۸	بازار	بازار
۱۳۸۳	خرداد	۹	بازار	بازار
۱۳۸۳	خرداد	۱۰	بازار	بازار
۱۳۸۳	خرداد	۱۱	بازار	بازار
۱۳۸۳	خرداد	۱۲	بازار	بازار
۱۳۸۳	خرداد	۱۳	بازار	بازار
۱۳۸۳	خرداد	۱۴	بازار	بازار
۱۳۸۳	خرداد	۱۵	بازار	بازار
۱۳۸۳	خرداد	۱۶	بازار	بازار
۱۳۸۳	خرداد	۱۷	بازار	بازار
۱۳۸۳	خرداد	۱۸	بازار	بازار
۱۳۸۳	خرداد	۱۹	بازار	بازار
۱۳۸۳	خرداد	۲۰	بازار	بازار
۱۳۸۳	خرداد	۲۱	بازار	بازار
۱۳۸۳	خرداد	۲۲	بازار	بازار
۱۳۸۳	خرداد	۲۳	بازار	بازار
۱۳۸۳	خرداد	۲۴	بازار	بازار
۱۳۸۳	خرداد	۲۵	بازار	بازار
۱۳۸۳	خرداد	۲۶	بازار	بازار
۱۳۸۳	خرداد	۲۷	بازار	بازار
۱۳۸۳	خرداد	۲۸	بازار	بازار
۱۳۸۳	خرداد	۲۹	بازار	بازار
۱۳۸۳	خرداد	۳۰	بازار	بازار
۱۳۸۳	خرداد	۳۱	بازار	بازار
۱۳۸۳	خرداد	۱	بازار	بازار
۱۳۸۳	خرداد	۲	بازار	بازار
۱۳۸۳	خرداد	۳	بازار	بازار
۱۳۸۳	خرداد	۴	بازار	بازار
۱۳۸۳	خرداد	۵	بازار	بازار
۱۳۸۳	خرداد	۶	بازار	بازار
۱۳۸۳	خرداد	۷	بازار	بازار
۱۳۸۳	خرداد	۸	بازار	بازار
۱۳۸۳	خرداد	۹	بازار	بازار
۱۳۸۳	خرداد	۱۰	بازار	بازار
۱۳۸۳	خرداد	۱۱	بازار	بازار
۱۳۸۳	خرداد	۱۲	بازار	بازار
۱۳۸۳	خرداد	۱۳	بازار	بازار
۱۳۸۳	خرداد	۱۴	بازار	بازار
۱۳۸۳	خرداد	۱۵	بازار	بازار
۱۳۸۳	خرداد	۱۶	بازار	بازار
۱۳۸۳	خرداد	۱۷	بازار	بازار
۱۳۸۳	خرداد	۱۸	بازار	بازار
۱۳۸۳	خرداد	۱۹	بازار	بازار
۱۳۸۳	خرداد	۲۰	بازار	بازار
۱۳۸۳	خرداد	۲۱	بازار	بازار
۱۳۸۳	خرداد	۲۲	بازار	بازار
۱۳۸۳	خرداد	۲۳	بازار	بازار
۱۳۸۳	خرداد	۲۴	بازار	بازار
۱۳۸۳	خرداد	۲۵	بازار	بازار
۱۳۸۳	خرداد	۲۶	بازار	بازار
۱۳۸۳	خرداد	۲۷	بازار	بازار
۱۳۸۳	خرداد	۲۸	بازار	بازار
۱۳۸۳	خرداد	۲۹	بازار	بازار
۱۳۸۳	خرداد	۳۰	بازار	بازار
۱۳۸۳	خرداد	۳۱	بازار	بازار
۱۳۸۳	خرداد	۱	بازار	بازار
۱۳۸۳	خرداد	۲	بازار	بازار
۱۳۸۳	خرداد	۳	بازار	بازار
۱۳۸۳	خرداد	۴	بازار	بازار
۱۳۸۳	خرداد	۵	بازار	بازار
۱۳۸۳	خرداد	۶	بازار	بازار
۱۳۸۳	خرداد	۷	بازار	بازار
۱۳۸۳	خرداد	۸	بازار	بازار
۱۳۸۳	خرداد	۹	بازار	بازار
۱۳۸۳	خرداد	۱۰	بازار	بازار
۱۳۸۳	خرداد	۱۱	بازار	بازار
۱۳۸۳	خرداد	۱۲	بازار	بازار
۱۳۸۳	خرداد	۱۳	بازار	بازار
۱۳۸۳	خرداد	۱۴	بازار	بازار
۱۳۸۳	خرداد	۱۵	بازار	بازار
۱۳۸۳	خرداد	۱۶	بازار	بازار
۱۳۸۳	خرداد	۱۷	بازار	بازار
۱۳۸۳	خرداد	۱۸	بازار	بازار
۱۳۸۳	خرداد	۱۹	بازار	بازار
۱۳۸۳	خرداد	۲۰	بازار	بازار
۱۳۸۳	خرداد	۲۱	بازار	بازار
۱۳۸۳	خرداد	۲۲	بازار	بازار
۱۳۸۳	خرداد	۲۳	بازار	بازار
۱۳۸۳	خرداد	۲۴	بازار	بازار
۱۳۸۳	خرداد	۲۵	بازار	بازار
۱۳۸۳	خرداد	۲۶	بازار	بازار
۱۳۸۳	خرداد	۲۷	بازار	بازار
۱۳۸۳	خرداد	۲۸	بازار	بازار
۱۳۸۳	خرداد	۲۹	بازار	بازار
۱۳۸۳	خرداد	۳۰	بازار	بازار
۱۳۸۳	خرداد	۳۱	بازار	بازار
۱۳۸۳	خرداد	۱	بازار	بازار
۱۳۸۳	خرداد	۲	بازار	بازار
۱۳۸۳	خرداد	۳	بازار	بازار
۱۳۸۳	خرداد	۴	بازار	بازار
۱۳۸۳	خرداد	۵	بازار	بازار
۱۳۸۳	خرداد	۶	بازار	بازار
۱۳۸۳	خرداد	۷	بازار	بازار
۱۳۸۳	خرداد	۸	بازار	بازار
۱۳۸۳	خرداد	۹	بازار	بازار
۱۳۸۳	خرداد	۱۰	بازار	بازار
۱۳۸۳	خرداد	۱۱	بازار	بازار
۱۳۸۳	خرداد	۱۲	بازار	بازار
۱۳۸۳	خرداد	۱۳	بازار	بازار
۱۳۸۳	خرداد	۱۴	بازار	بازار
۱۳۸۳	خرداد	۱۵	بازار	بازار
۱۳۸۳	خرداد	۱۶	بازار	بازار
۱۳۸۳	خرداد	۱۷	بازار	بازار
۱۳۸۳	خرداد	۱۸	بازار	بازار
۱۳۸۳	خرداد	۱۹	بازار	بازار
۱۳۸۳	خرداد	۲۰	بازار	بازار
۱۳۸۳	خرداد	۲۱	بازار	بازار
۱۳۸۳	خرداد	۲۲	بازار	بازار
۱۳۸۳	خرداد	۲۳	بازار	بازار
۱۳۸۳	خرداد	۲۴	بازار	بازار
۱۳۸۳	خرداد	۲۵	بازار	بازار
۱۳۸۳	خرداد	۲۶	بازار	بازار
۱۳۸۳	خرداد	۲۷	بازار	بازار
۱۳۸۳	خرداد	۲۸	بازار	بازار
۱۳۸۳	خرداد	۲۹	بازار	بازار
۱۳۸۳	خرداد	۳۰	بازار	بازار
۱۳۸۳	خرداد	۳۱	بازار	بازار
۱۳۸۳	خرداد	۱	بازار	بازار
۱۳۸۳	خرداد	۲	بازار	بازار
۱۳۸۳	خرداد	۳	بازار	بازار
۱۳۸۳	خرداد	۴	بازار	بازار
۱۳۸۳	خرداد	۵	بازار	بازار
۱۳۸۳	خرداد	۶	بازار	بازار
۱۳۸۳	خرداد	۷	بازار	بازار
۱۳۸۳	خرداد	۸	بازار	بازار
۱۳۸۳	خرداد	۹	بازار	بازار
۱۳۸۳	خرداد	۱۰	بازار	بازار
۱۳۸۳	خرداد	۱۱	بازار	بازار
۱۳۸۳	خرداد	۱۲	بازار	بازار
۱۳۸۳	خرداد	۱۳	بازار	بازار
۱۳۸۳	خرداد	۱۴	بازار	بازار
۱۳۸۳	خرداد	۱۵	بازار	بازار
۱۳۸۳	خرداد	۱۶	بازار	بازار
۱۳۸۳	خرداد	۱۷	بازار	بازار
۱۳۸۳	خرداد	۱۸	بازار	بازار
۱۳۸۳	خرداد	۱۹	بازار	بازار
۱۳۸۳	خرداد	۲۰	بازار	بازار
۱۳۸۳	خرداد	۲۱	بازار	بازار
۱۳۸۳	خرداد	۲۲	بازار	بازار
۱۳۸۳	خرداد	۲۳	بازار	بازار
۱۳۸۳	خرداد	۲۴	بازار	بازار
۱۳۸۳	خرداد	۲۵	بازار	بازار
۱۳۸۳	خرداد	۲۶	بازار	بازار
۱۳۸۳	خرداد	۲۷	بازار	بازار
۱۳۸۳	خرداد	۲۸	بازار	بازار
۱۳۸۳	خرداد	۲۹	بازار	بازار
۱۳۸۳	خرداد	۳۰	بازار	بازار
۱۳۸۳	خرداد	۳۱	بازار	بازار
۱۳۸۳	خرداد	۱	بازار	بازار
۱۳۸۳	خرداد	۲	بازار	بازار
۱۳۸۳	خرداد	۳	بازار	بازار
۱۳۸۳	خرداد	۴	بازار	بازار
۱۳۸۳	خرداد	۵	بازار	بازار
۱۳۸۳	خرداد	۶	بازار	بازار
۱۳۸۳	خرداد	۷	بازار	بازار
۱۳۸۳	خرداد	۸	بازار	بازار
۱۳۸۳	خرداد	۹	بازار	بازار
۱۳۸۳	خرداد	۱۰	بازار	بازار
۱۳۸۳	خرداد	۱۱	بازار	بازار
۱۳۸۳	خرداد	۱۲	بازار	بازار
۱۳۸۳	خرداد	۱۳	بازار	بازار
۱۳۸۳	خرداد	۱۴	بازار	بازار
۱۳۸۳	خرداد	۱۵	بازار	بازار
۱۳۸۳	خرداد</			

Radiative Transfer, ۸۴(۲۰۰۴), ۲۰۷-۲۱۳
 [۳] Francesco Esposito, Giulia Pavese, Carmine Serio, A preliminary study on the correlation between TOMS aerosol index and ground-based measured aerosol optical depth, Journal of Atmospheric Environment, ۲۵(۲۰۰۱), ۵۰۹۳-۵۰۹۸

[۴] Jill A. Engel-Cox, Christopher H. Holloman, Basil W. Coutant, Raymond M. Hoff, Qualitative and quantitative evaluation of MODIS satellite sensor data for regional and urban scale air quality, Journal of Atmospheric Environment, ۳۸(۲۰۰۴), ۲۴۹۵-۲۵۰۹

[۵] Keith D. Hutchison, Application of MODIS satellite data and products for monitoring air quality in the state of Texas, Journal of Atmospheric Environment, ۳۷(۲۰۰۳), ۲۴۰۳-۲۴۱۲

[۶] Jun Wang, Sundar A. Christopher, Intercomparison between satellite-derived aerosol optical thickness and PM_{2.5} mass: Implications for air quality studies, Journal of Geophysical Research Letters, Vol. ۳۰, No. ۲۱

[۷] Gonzalez, L., Deroo, C., ۲۰۰۳. HDFlook/ HDFlook MODIS handbook laboratoire d'optique Atmosphérique, Université des sciences et Technologies de Lille, France. Revised ۲۸ April ۲۰۰۳. Available at http://WWW.loa-univ-lille1.fr/hdflook/E_HDF.html

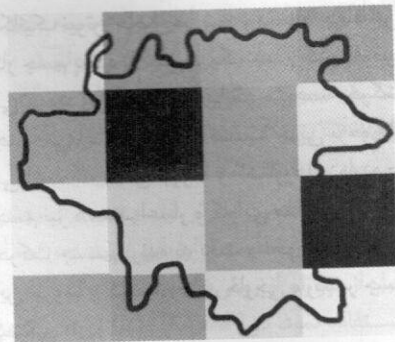
[۸] A. Savtchenko, D. Ouzounov, S. Ahmad, G. Leptoukh, J. Koziana, D. Nickless, Terra and Aqua MODIS products available from NASA GES DAAC, Journal of Advances in Space Research, ۳۴(۲۰۰۴), ۷۱۰-۷۱۴

[۹] D. Ouzounov, A. Savtchenko, G. Leptoukh, B. Zhou, D. Ostreng, C. Deroo, L. Gonzalez, GES DAAC tools for accessing Terra and Aqua MODIS data, Journal of Advances in Space Research, ۳۳(۲۰۰۴), ۱۱۰۹-۱۱۱۳.

- پیکسل های AOD ابعاد ۱۰*۱۰ کیلومتری دارند و شهر تهران با مساحت تقریبی ۷۰۰ کیلومتر مربع توسط چند عدد از آنها پوشش داده می شود. در نتیجه یک پیکسل نماینده ۱۰۰ کیلومتر مربع است در حالیکه ایستگاه های زمینی سنجش آلودگی هوا در محدوده اطراف خود قابل استفاده هستند.

- در سیاری از موقع ایستگاه زمینی در کناره ها و مرزهای پیکسل ها قرار می گیرند. در این حالت تفاوت مکانی بیشتر می شود.

AERONET شبکه ایست دور تا دور دنیا که مقادیر بدست آمده از ماهواره MODIS در آخرین مرحله از الگوریتم تولید AOD با مقادیر این شبکه در زمان و مکان یکسان مقایسه و استحکام می شوند. در کشور ما بعلت عدم وجود هیچ نوع از این سنجنده ها، مقادیر AOD تولید شده اعتبار کافی ندارند. ایستگاه های زمینی نیاز به کالیبراسیون و نگهداری برای اعتبار داده های خود هستند. در غیر این صورت باید عدم دقت آنها در نظر گرفته شود.

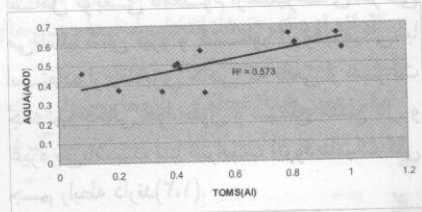


شکل ۲: نمونه ای از پیکسل هایی که شهر تهران را پوشش داده اند.

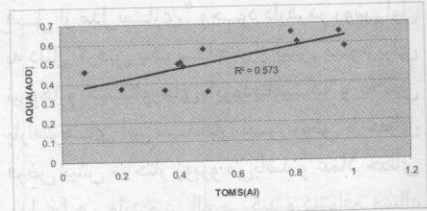
در ادامه داده های ماهیانه سنجنده های TOMS و MODIS به تفکیک AQUA و MODIS بر فراز تهران با یکدیگر مقایسه گردیدند. این مقایسه حاکی از ارتباط خوب مقادیر ثبت شده ماهواره ها با هم دارد. قابل ذکر است که داده های ماهیانه MODIS در سطح سوم و با پژوه ۱۰ درجه جغرافیایی می باشند. از آنجا که اطلاعات ماهیانه TOMS و MODIS در ابعاد نزدیکی هستند (۱۰ درجه برای MODIS و ۱۱ درجه برای TOMS) همبستگی نسبی خوبی برای ۰/۵۷۳ با AQUA و ۰/۵۴۸۲ با TERRA برای محدوده شهر تهران بدست آمد.

نتیجه گیری

گرچه طی مقایسه ای که انجام گردید، رابطه روشمند مابین داده های تصاویر ماهواره ای و اندازه گیری های PM₁₀ زمینی بدست نیامد، ولی این به معنای عدم امکان کاربرد سنجنده های ماهواره ای در سنجش آلودگی هوا در ایران نخواهد بود. همانطور که از مقایسه دو سنجنده TOMS و MODIS مشخص شد، داده های این دو سنجنده با الگوریتم مقاومت همبستگی خوبی را با یکدیگر نشان دادند. با توجه به این مطالعه روشن است که تصاویر ماهواره ای نسبت به یکدیگر در سری های زمانی و مکانی قابلیت کاربرد دارند. این موضوع بخصوص در رابطه با مطالعه غبار ورودی به شهرها از بیان های اطراف بسیار حائز اهمیت می باشد. در انتهای باید بدان اوری کرد که سال به سال سنجنده های جدیدتر با وضوح و قدرت بالاتر ارائه می شوند، بطوریکه آینده روشنی در رابطه با سنجش ماهواره ای آلودگی هوا در برابر ما ترسیم می کنند.



نمودار ۶: وجود همبستگی نسبتاً خوبی بین میانگین ماهیانه AQUA و TOMS



نمودار ۷: وجود همبستگی نسبتاً خوبی بین میانگین ماهیانه TERRA و TOMS

منابع و مراجع:

[۱] امید اسماعیلی، پهنه بندی مراکز تولید غبار کشور با استفاده از فناوری سنجش از دور، پایان نامه کارشناسی ارشد، دانشگاه صنعتی شریف ۱۳۸۵

[۲] K.Madhavi Latha, K.V.S.Badarinath, Studies on satellite and ground-based measurements of aerosol over urban environment, Journal of Quantitative Spectroscopy &

عوامل ایجاد خطأ

برای بررسی عوامل عده محتمل به وجود آورده خطأ و عدم امکان تخمین میزان آلودگی با استفاده از تصاویر ماهواره ای بررسی شده می توان عوامل زیر را نام برد: